

Techniques d'optimisation

Sommaire

1. [Bases théoriques](#)
2. **Optimisation sans contraintes**
 - 2.1 [Méthodes de descente](#)
 - 2.2 [Méthode de Newton](#)
 - 2.3 [Recherche linéaire](#)
 - 2.4 [Région de confiance](#)
 - 2.5 [Moindres carrés](#)
 - 2.6 [Méthodes sans gradient](#)
3. [Optimisation avec contraintes](#)
4. [Optimisation discrète](#)
5. [Optimisation fonctionnelle](#)

Techniques d'optimisation

2 Optimisation sans contraintes

Problème non linéaire sans contraintes

$$\min_{x \in \mathbb{R}^n} f(x) \quad \rightarrow \text{problème noté (PO)}$$

Méthodes globales

- Capacité à localiser plusieurs minima locaux (éventuellement le minimum global)
- Algorithmes non déterministes (déplacements aléatoires « organisés »)
- Métaheuristiques : algorithmes génétiques, recuit simulé, essais, colonies de fourmis, recherche tabou,...
- Convergence généralement lente, peu précise

Méthodes locales

- Recherche d'un **minimum local** à partir d'un **point initial** fourni par l'utilisateur
- Méthodes d'ordre 0 : sans dérivées → Nelder-Mead, Direct
- d'ordre 1 : avec dérivées premières → plus forte pente
- d'ordre 2 : avec dérivées premières et secondes → Newton
- Critères d'efficacité : **rapidité** de convergence (nombre d'appels de la fonction)
précision de convergence
robustesse à l'initialisation

Sommaire

1. [Bases théoriques](#)
2. **Optimisation sans contraintes**
 - 2.1 **Méthodes de descente**
 - 2.1.1 [Principes](#)
 - 2.1.2 [Itérations](#)
 - 2.1.3 [Initialisation et arrêt](#)
 - 2.2 [Méthode de Newton](#)
 - 2.3 [Recherche linéaire](#)
 - 2.4 [Région de confiance](#)
 - 2.5 [Moindres carrés](#)
 - 2.6 [Méthodes sans gradient](#)
3. [Optimisation avec contraintes](#)
4. [Optimisation discrète](#)
5. [Optimisation fonctionnelle](#)

Techniques d'optimisation

2.1.1 Méthodes de descente

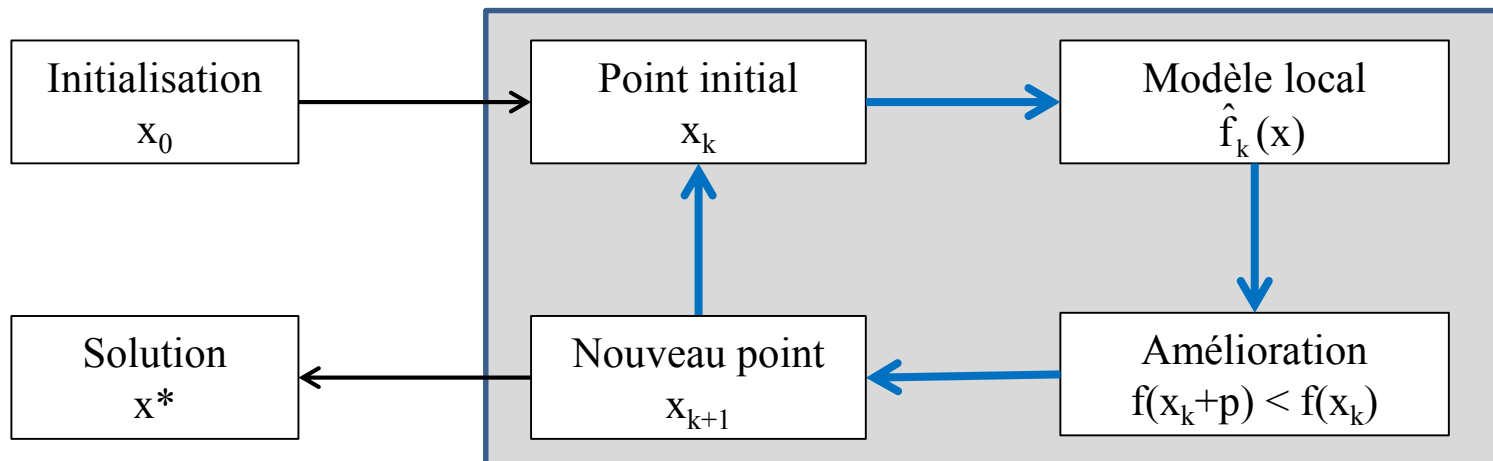
Problème sans contrainte

$$\min_{x \in \mathbb{R}^n} f(x) \quad x^* \text{ minimum local} \quad \Rightarrow \quad \begin{cases} \nabla f(x^*) = 0 \\ \nabla^2 f(x^*) \geq 0 \end{cases}$$

On ne sait pas trouver le minimum global dans le cas général (f quelconque).

Méthode locale

- Initialisation x_0 → recherche d'un minimum local au voisinage de x_0
- Itérations → passage du point x_k au point x_{k+1} meilleur
- Arrêt → solution x^* ou blocage



2.1.2 Itérations

Modèle local : **prédiction**

- Point courant x_k , $f_k = f(x_k)$
- Evaluation de $g_k = \nabla f(x_k)$ ou approximation (différences finies)
 $H_k = \nabla^2 f(x_k)$ ou approximation (quasi Newton)
- Modèle quadratique : $\min_p \hat{f}_k(x_k + p) = f_k + p^t g_k + \frac{1}{2} p^t H_k p \rightarrow \hat{x}_{k+1} = x_k + \hat{p}$
(prédiction)

→ **Méthodes de Newton ou quasi-Newton**

Amélioration : **correction**

- Nouveau point $x_{k+1} = x_k + p$ tel que $f(x_k + p) < f(x_k)$
- Déplacement p à partir de x_k
par recherche linéaire suivant $d_k = \hat{x}_{k+1} - x_k$
par région de confiance dans $\|x - x_k\| < r$

→ **Méthodes de globalisation**

- La méthode de Newton appliquée directement ne converge pas systématiquement.
La globalisation est nécessaire pour contrôler la convergence.

Techniques d'optimisation

2.1.3 Initialisation et arrêt

Initialisation

- Les **méthodes locales** recherchent le minimum au voisinage du point de départ.
- Objectifs :
 - rapidité de convergence
 - précision de convergence→ **méthodes à base de dérivées**
- Le minimum local trouvé est le plus proche du point initial x_0 .
 - initialisation à modifier pour trouver un autre minimum local
- Les **méthodes « globales »** explorent « aléatoirement » les solutions
 - localisation possible de plusieurs minima locaux

Conditions d'arrêt

- Déplacement insuffisant : $\|x_{k+1} - x_k\| < \varepsilon_x$
- Amélioration insuffisante : $f_k - f_{k+1} < \varepsilon_f$
- Condition d'ordre 1 vérifiée : $\|g_k\| < \varepsilon_g$
- Nombre maximal d'itérations ou d'appels fonction : N_{iter}, N_{fonc}

Sommaire

1. [Bases théoriques](#)
- 2. Optimisation sans contraintes**
 - 2.1 [Méthodes de descente](#)
 - 2.2 [Méthode de Newton](#)
 - 2.3 Recherche linéaire**
 - 2.3.1 [Principes](#)
 - 2.3.2 [Direction de descente](#)
 - 2.3.3 [Pas de déplacement](#)
 - 2.3.4 [Algorithme](#)
 - 2.4 [Région de confiance](#)
 - 2.5 [Moindres carrés](#)
 - 2.6 [Méthodes sans gradient](#)
3. [Optimisation avec contraintes](#)
4. [Optimisation discrète](#)
5. [Optimisation fonctionnelle](#)

Techniques d'optimisation

2.3.1 Recherche linéaire

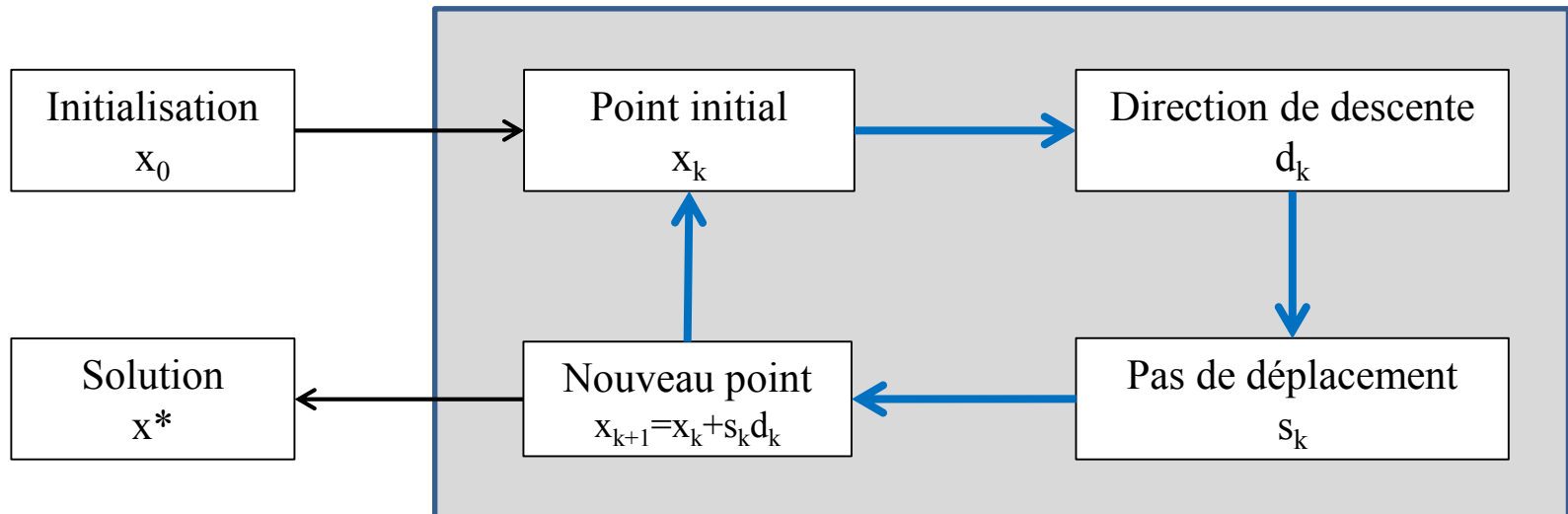
Problème sans contrainte

$$\min_{x \in \mathbb{R}^n} f(x)$$

Etapes principales

A chaque itération

- Construction d'une direction de descente d_k à partir du point x_k
- Réglage du pas de déplacement s_k suivant d_k



Techniques d'optimisation

2.3.1 Recherche linéaire

Etapes principales

A chaque itération

- Construction d'une direction de descente d_k à partir du point x_k
- Réglage du pas de déplacement s_k suivant d_k

Direction de descente

d_k est une direction de descente en x_k si

$$\nabla f(x_k)^T d_k < 0$$

La direction de descente est construite à partir du gradient et du hessien.

- **Plus forte pente** → gradient (méthode d'ordre 1)
- **Préconditionnement** → hessien (méthode d'ordre 2)

Pas de déplacement

Le pas de déplacement s_k suivant d_k doit vérifier

$$f(x_k + s_k d_k) < f(x_k)$$

L'algorithme de recherche linéaire résout un problème de minimisation à une variable s

- Minimisation **exacte** → dichotomie (Fibonacci, nombre d'or, interpolation)
- Minimisation **approchée** → règles de pas acceptable (Armijo, Goldstein, Wolfe)

2.3.2 Direction de descente

- Plus forte pente
- Gradient accéléré
- Méthode de Nesterov
- Préconditionnement

Techniques d'optimisation

2.3.2 Plus forte pente

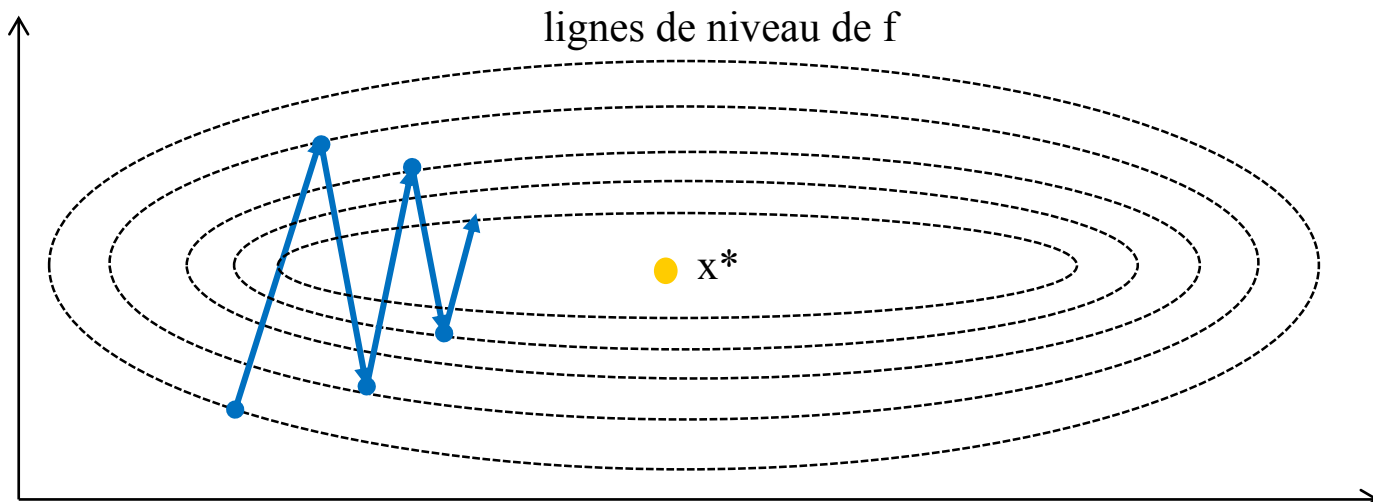
Plus forte pente

La direction de descente « naturelle » est celle du gradient = plus forte dérivée directionnelle

$$d_k = -\nabla f(x_k)$$

- Comportement caractéristique en zigzag
- **Convergence très lente** → méthode inefficace en général
- Améliorations possibles → gradient accéléré, méthode de Nesterov, préconditionnement

Illustration en dimension 2



Techniques d'optimisation

2.3.2 Plus forte pente

Plus forte pente

Les directions successives de plus forte pente avec pas optimal sont **orthogonales**.

- Itération k

On cherche le minimum de f à partir de x_k suivant la direction $d_k = -\nabla f(x_k)$

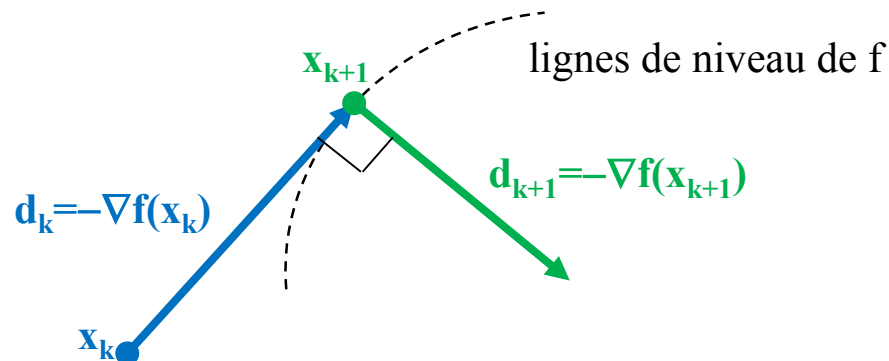
Le nouveau point est $x_{k+1} = x_k + s d_k$ avec le pas $s > 0$ solution de :

$$\min_{s \in \mathbb{R}} f(x_k + s d_k) \Rightarrow \frac{d}{ds} f(x_k + s d_k) = 0 \Rightarrow d_k^T \nabla f(x_k + s d_k) = 0 \Rightarrow d_k^T \nabla f(x_{k+1}) = 0$$

- Itération k+1

La direction de plus forte pente en x_{k+1} est $d_{k+1} = -\nabla f(x_{k+1}) \Rightarrow \boxed{d_k^T d_{k+1} = 0}$

Illustration



Techniques d'optimisation

2.3.2 Exemple

Plus forte pente

- Fonction

$$f(x) = \frac{1}{2}x_1^2 + \frac{9}{2}x_2^2$$

- Direction

$$d = -\nabla f(x) = \begin{pmatrix} -x_1 \\ -9x_2 \end{pmatrix}$$

- Pas

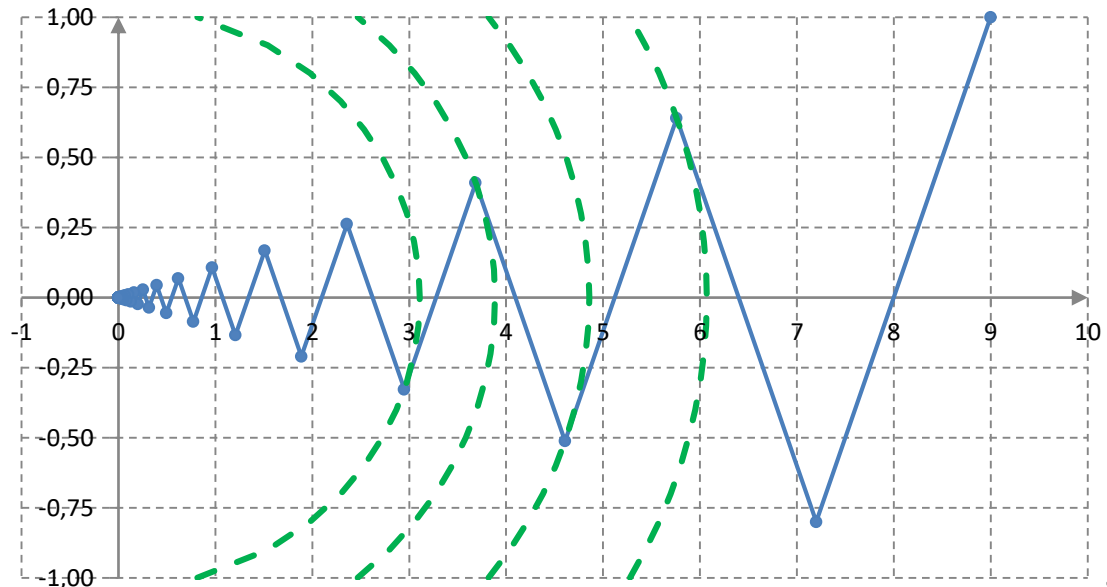
$$\min_s f(x + sd)$$

$$\rightarrow s = \frac{x_1^2 + 81x_2^2}{x_1^2 + 729x_2^2}$$

- Itération

$$x_{k+1} = x_k + s_k d_k$$

Iteration	x1	x2	f(x)	d1	d2	s	Erreur
0	9,000	1,000	45,000	-9,000	-9,000	0,2	9,055
1	7,200	-0,800	28,800	-7,200	7,200	0,2	7,244
2	5,760	0,640	18,432	-5,760	-5,760	0,2	5,795
3	4,608	-0,512	11,796	-4,608	4,608	0,2	4,636
4	3,686	0,410	7,550	-3,686	-3,686	0,2	3,709
5	2,949	-0,328	4,832	-2,949	2,949	0,2	2,967
10	0,966	0,107	0,519	-0,966	-0,966	0,2	0,972
20	0,104	0,012	0,006	-0,104	-0,104	0,2	0,104
30	1,11E-02	1,24E-03	6,90E-05	-1,11E-02	-1,11E-02	0,2	1,12E-02
40	1,20E-03	1,33E-04	7,95E-07	-1,20E-03	-1,20E-03	0,2	1,20E-03
50	1,28E-04	1,43E-05	9,17E-09	-1,28E-04	-1,28E-04	0,2	1,29E-04



Techniques d'optimisation

2.3.2 Gradient accéléré

Justification (en dimension 2)

- On suppose que la fonction à minimiser est une **fonction quadratique de 2 variables**.

$$f(x) = \frac{1}{2} x^T Q x + c^T x, \quad x \in \mathbb{R}^2 \quad \rightarrow \quad g(x) = \nabla f(x) = Qx + c \quad \rightarrow \quad x^* = -Q^{-1}c$$

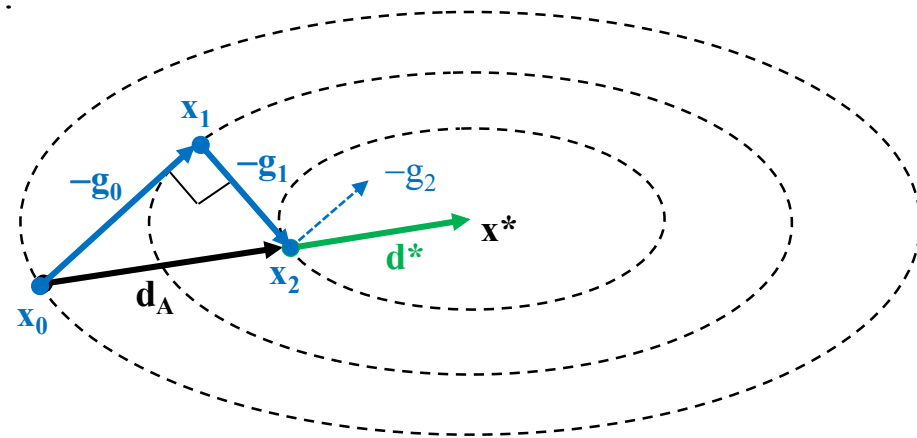
On a les relations :

$$\begin{cases} g_0 = Qx_0 + c \\ g_2 = Qx_2 + c \\ 0 = Qx^* + c \end{cases} \Rightarrow \begin{cases} x_2 - x_0 = \text{noté } d_A \\ x^* - x_2 = \text{noté } d^* \end{cases} \quad \boxed{\begin{matrix} d_A = Q^{-1}(g_2 - g_0) \\ d^* = -Q^{-1}g_2 \end{matrix}}$$

- On considère des itérations de plus forte pente à partir du point x_0 : $d_k \parallel g(x_k) = g_k$
 Les directions successives sont orthogonales :

$$\begin{cases} g_1 \perp g_0 \\ g_2 \perp g_1 \end{cases} \Rightarrow g_2 \parallel g_0 \Rightarrow g_2 - g_0 = \alpha g_2 \Rightarrow \boxed{d_A = \alpha Q^{-1}g_2}$$

Vrai seulement en dimension 2



- La direction d_A (de x_0 vers x_2) est parallèle à la direction d^* (de x_2 vers le minimum x^*).
 Le minimum se trouve suivant la direction d_A et peut être atteint dès la troisième itération.

2.3.2 Exemple

Gradient accéléré

- Fonction $f(\mathbf{x}) = \frac{1}{2}x_1^2 + \frac{9}{2}x_2^2 \rightarrow \mathbf{g}(\mathbf{x}) = \nabla f(\mathbf{x}) = \begin{pmatrix} x_1 \\ 9x_2 \end{pmatrix} \rightarrow \mathbf{H}(\mathbf{x}) = \nabla^2 f(\mathbf{x}) = \begin{pmatrix} 1 & 0 \\ 0 & 9 \end{pmatrix}$

- Minimisation suivant $\mathbf{d} = \begin{pmatrix} d_1 \\ d_2 \end{pmatrix}$: $\min_s f(\mathbf{x} + s\mathbf{d}) = f(\mathbf{x}) + s\mathbf{d}^T \mathbf{g}(\mathbf{x}) + \frac{1}{2}s\mathbf{d}^T \mathbf{H}(\mathbf{x})\mathbf{d}$
 $\rightarrow s = -\frac{\mathbf{d}^T \mathbf{g}}{\mathbf{d}^T \mathbf{H} \mathbf{g}} = -\frac{d_1 x_1 + 9d_2 x_2}{d_1^2 + 9d_2^2}$

- Point initial : $\mathbf{x}^{(0)} = \begin{pmatrix} 9 \\ 1 \end{pmatrix}$

Iteration	x1	x2	f(x)	d1	d2	s	Erreur
0	9,0000	1,0000	45,0000	-9,0000	-9,0000	0,2	9,0554
1	7,2000	-0,8000	28,8000	-7,2000	7,2000	0,2	7,2443
2	5,7600	0,6400	18,4320	-3,2400	-0,3600	1,8	5,7954
3	0,0000	0,0000	0,0000				0,0000

- Déplacements 1 et 2

Direction de plus forte pente : $\mathbf{d}^{(0)} = -\mathbf{g}(\mathbf{x}^{(0)}) \longrightarrow \mathbf{x}^{(1)}$

$\mathbf{d}^{(1)} = -\mathbf{g}(\mathbf{x}^{(1)}) \longrightarrow \mathbf{x}^{(2)}$

- Déplacement 3 suivant : $\mathbf{d} = \mathbf{x}^{(2)} - \mathbf{x}^{(0)} \longrightarrow \mathbf{x}^{(3)} = \mathbf{x}^*$

\rightarrow **convergence en 3 itérations**

Techniques d'optimisation

2.3.2 Méthode de Nesterov

Méthode de Nesterov

La méthode de Nesterov consiste à ajouter un déplacement intermédiaire à chaque itération.

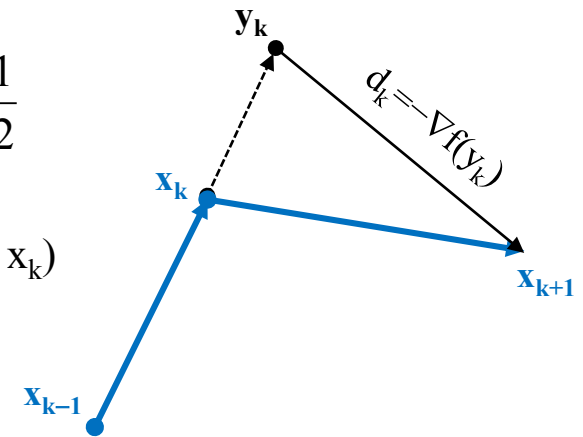
- Les 2 premières itérations sont identiques à la méthode de plus forte pente. A partir de l'itération 3, chaque itération se compose de 2 déplacements.

- un déplacement à partir de x_k **suivant la direction** $x_k - x_{k-1}$

→ point y_k : $y_k = x_k + \theta_k (x_k - x_{k-1})$ avec $\theta_k = \frac{k-1}{k+2}$

- un déplacement de plus forte pente **à partir de** y_k (au lieu de x_k)

→ point x_{k+1} : $x_{k+1} = y_k + s_k d_k$ avec $d_k = -g(y_k)$



- Le déplacement complémentaire décale le point suivant la dernière direction de déplacement. Le nouveau point y_k est plus favorable pour une itération de plus forte pente, en particulier si la fonction présente une vallée étroite et allongée.

Techniques d'optimisation

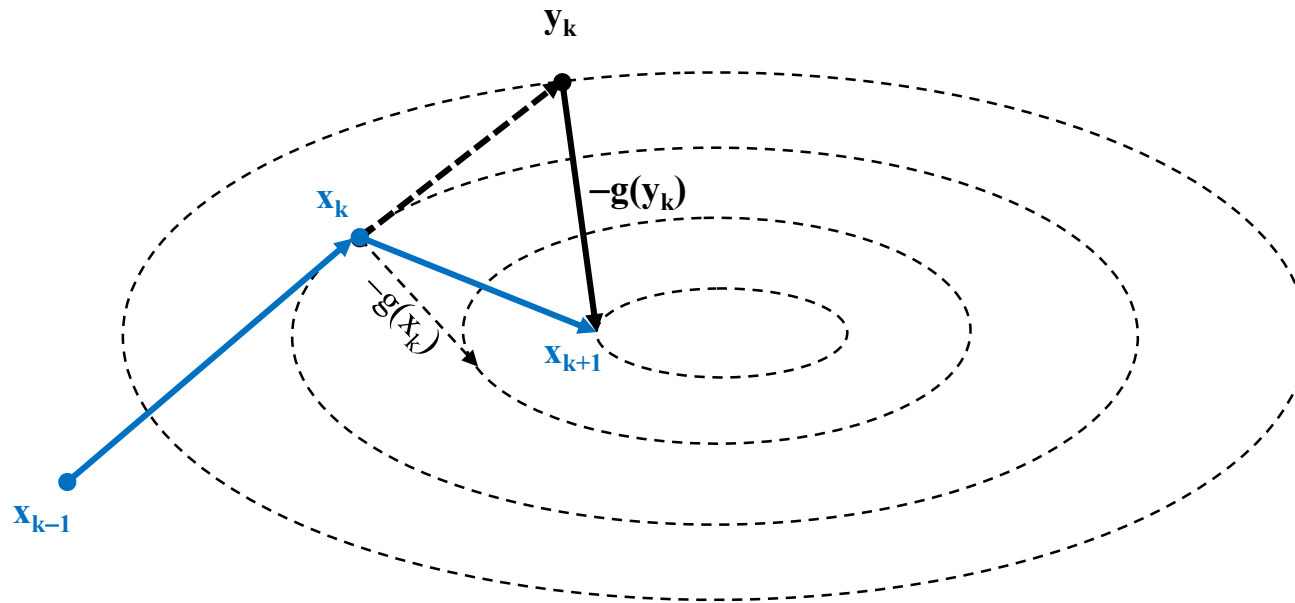
2.3.2 Méthode de Nesterov

Méthode de Nesterov

- Itération composée de 2 déplacements

$$y_k = x_k + \theta_k (x_k - x_{k-1}) \quad \text{avec} \quad \theta_k = \frac{k-1}{k+2} \quad \text{à partir de } k = 2$$

$$x_{k+1} = y_k + s_k d_k \quad \text{avec} \quad d_k = -g(y_k) \quad \text{et minimisation suivant } d_k$$



Techniques d'optimisation

2.3.2 Exemple

Méthode de Nesterov

- Fonction : $f(\mathbf{x}) = \frac{1}{2}x_1^2 + \frac{9}{2}x_2^2$
- Itération :
$$\begin{cases} y_k = x_k + \theta_k(x_k - x_{k-1}) \\ x_{k+1} = y_k + s_k d_k \end{cases}$$
 avec $\theta_k = \frac{k-1}{k+2}$
 avec $d_k = -\nabla f(y_k) = \begin{pmatrix} -y_1 \\ -9y_2 \end{pmatrix}$
 et $\min_s f(y_k + s d_k) \rightarrow s = -\frac{d_1 y_1 + 9d_2 y_2}{d_1^2 + 9d_2^2}$
- Comparaison à la méthode de plus forte pente

Iteration	Plus forte pente			Nesterov		
	x1	x2	f	x1	x2	f
0	9,000	1,000	45,0000	9,0000	1,0000	45,0000
1	7,200	-0,800	28,8000	7,2000	-0,8000	28,8000
2	5,760	0,640	18,4320	5,7600	0,6400	18,4320
3	4,608	-0,512	11,7965	4,6154	-0,3077	11,0769
4	3,686	0,410	7,5497	3,5187	0,2630	6,5018
5	2,949	-0,328	4,8318	2,5381	-0,1697	3,3507
6	2,359	0,262	3,0924	1,7054	0,0999	1,4991
7	1,887	-0,210	1,9791	1,0259	-0,0559	0,5403
8	1,510	0,168	1,2666	0,5004	0,0221	0,1274
9	1,208	-0,134	0,8106	0,1173	-0,0025	0,0069
10	0,966	0,107	0,5188	-0,1320	0,0129	0,0095

→ 2 itérations initiales identiques

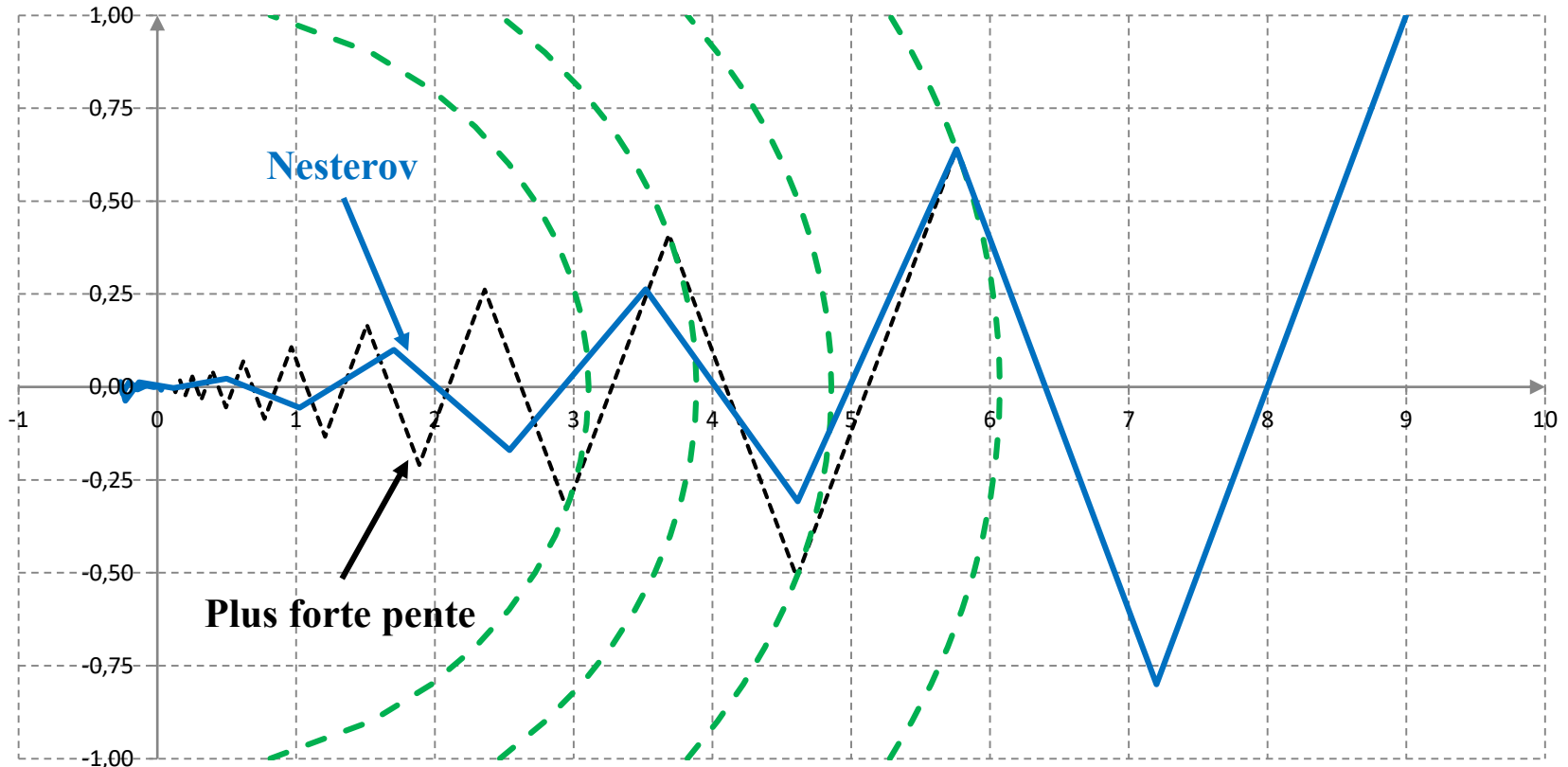
→ après 10 itérations

Techniques d'optimisation

2.3.2 Exemple

Méthode de Nesterov

- Fonction : $f(x) = \frac{1}{2}x_1^2 + \frac{9}{2}x_2^2$



2.3.2 Préconditionnement

Préconditionnement

- On se donne une matrice H_k **symétrique définie positive**.
 → factorisation de Cholesky de H_k : $H_k = L_k L_k^T$

- Changement de variable : $\tilde{x}_k = L_k^T x_k$

- Direction de plus forte pente pour : $\tilde{f}(\tilde{x}_k) = f(x_k) = f(L_k^{-T} \tilde{x}_k)$

$$\tilde{d}_k = -\nabla \tilde{f}(\tilde{x}_k) = -\nabla f(L_k^{-T} \tilde{x}_k) = -L_k^{-1} \nabla f(L_k^{-T} \tilde{x}_k) = -L_k^{-1} \nabla f(x_k) = -L_k^{-1} d_k$$

- Itération en \tilde{x}_k : $\tilde{x}_{k+1} = \tilde{x}_k - s_k \nabla \tilde{f}(\tilde{x}_k)$

- Itération en x_k : $x_{k+1} = L_k^{-T} \tilde{x}_{k+1} = L_k^{-T} (\tilde{x}_k - s_k \nabla \tilde{f}(\tilde{x}_k)) = L_k^{-T} (L_k^T x_k - s_k L_k^{-1} d_k)$

$$\Rightarrow x_{k+1} = x_k - s_k L_k^{-T} L_k^{-1} d_k = x_k - s_k H_k^{-1} d_k$$

- Le **préconditionnement par la matrice H_k** revient à prendre comme direction de descente

$$d_k = -H_k^{-1} \nabla f(x_k)$$

- On vérifie que d_k est une direction de descente

$$d_k^T \nabla f(x_k) = -\nabla f(x_k)^T H_k^{-1} \nabla f(x_k) < 0 \quad \text{car } H_k \text{ est définie positive}$$

2.3.2 Préconditionnement

Choix du préconditionnement

Toute matrice H_k **symétrique définie positive** convient.

Cas d'un hessien défini positif

- Si le hessien $\nabla^2 f(x_k)$ est défini positif, on peut prendre $H_k = \nabla^2 f(x_k)$.

$$d_k = -H_k^{-1} \nabla f(x_k) = -\nabla^2 f(x_k)^{-1} \nabla f(x_k) \Rightarrow x_{k+1} = x_k - s_k \nabla^2 f(x_k)^{-1} \nabla f(x_k)$$

On obtient l'itération de Newton si le pas s_k vaut 1.

- On peut prendre pour H_k **l'approximation du hessien** donnée par une méthode quasi-Newton.

Cas d'un hessien non défini positif

- On peut effectuer la factorisation de Cholesky modifiée du hessien $\nabla^2 f(x_k)$ (ou de son approximation quasi Newton) pour obtenir une matrice définie positive.

- On peut ajouter un multiple de l'identité : $H_k = \nabla^2 f(x_k) + \tau I$ avec $\tau > 0$ assez grand.

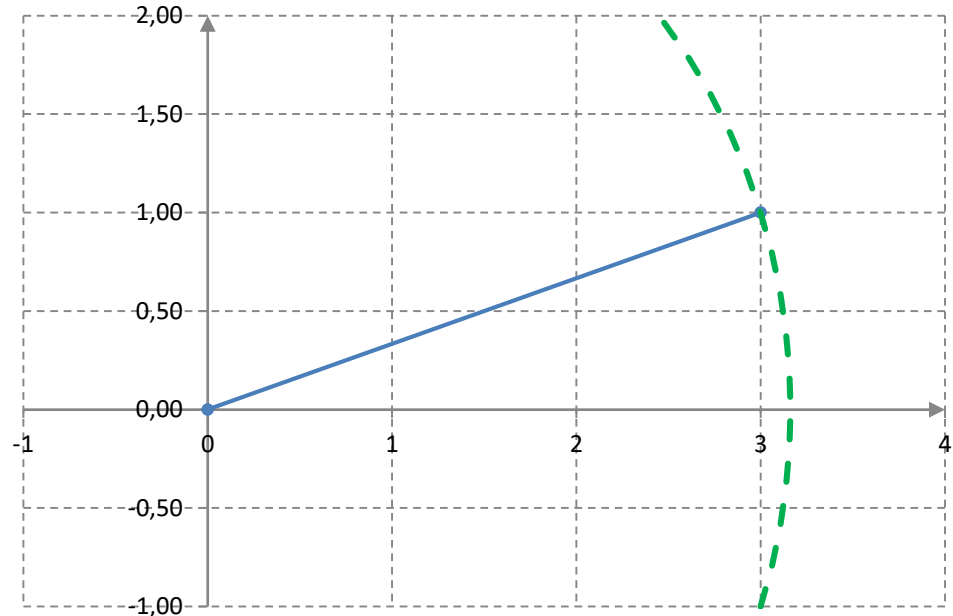
- On peut également prendre H_k diagonale : $(H_k)_{ii} = \max\left(\varepsilon, \frac{\partial^2 f}{\partial x_i^2}(x_k)\right)$, $\varepsilon > 0$
à partir des dérivées secondes diagonales de f .

Techniques d'optimisation

2.3.2 Exemple

Préconditionnement

- Fonction : $f(\mathbf{x}) = \frac{1}{2}x_1^2 + \frac{9}{2}x_2^2 \Rightarrow \nabla f(\mathbf{x}) = \begin{pmatrix} x_1 \\ 9x_2 \end{pmatrix} \Rightarrow \nabla^2 f(\mathbf{x}) = \begin{pmatrix} 1 & 0 \\ 0 & 9 \end{pmatrix} = \begin{pmatrix} 1 & 0 \\ 0 & 3 \end{pmatrix} \begin{pmatrix} 1 & 0 \\ 0 & 3 \end{pmatrix}^T$
 - Préconditionnement : $L = \begin{pmatrix} 1 & 0 \\ 0 & 3 \end{pmatrix} \Rightarrow \begin{cases} \tilde{x}_1 = x_1 \\ \tilde{x}_2 = 3x_2 \end{cases} \Rightarrow \tilde{f}(\tilde{\mathbf{x}}) = \frac{1}{2}\tilde{x}_1^2 + \frac{9}{2}\left(\frac{1}{3}x_2\right)^2 = \frac{1}{2}\tilde{x}_1^2 + \frac{1}{2}\tilde{x}_2^2$
 - Direction : $\tilde{\mathbf{d}} = -\nabla \tilde{f}(\tilde{\mathbf{x}}) = \begin{pmatrix} -\tilde{x}_1 \\ -\tilde{x}_2 \end{pmatrix}$
 - Pas : $\min_s \tilde{f}(\tilde{\mathbf{x}} + s\tilde{\mathbf{d}}) \rightarrow s = 1$
 - Itération : $\tilde{\mathbf{x}}_{k+1} = \tilde{\mathbf{x}}_k + s_k \tilde{\mathbf{d}}_k = 0$
- **convergence en 1 itération**



2.3.3 Pas de déplacement

- ❑ Minimisation unidimensionnelle

- ❑ Minimisation exacte
 - Méthode de dichotomie
 - Méthode de Fibonacci
 - Méthode du nombre d'or
 - Interpolation quadratique

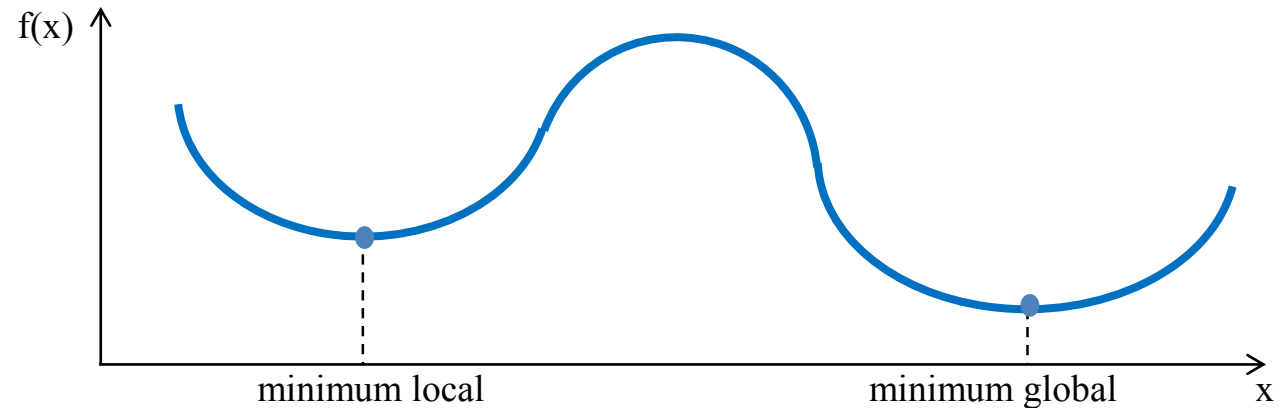
- ❑ Minimisation approchée
 - Règle d'Armijo
 - Règle de Goldstein
 - Règle de Wolfe

Techniques d'optimisation

2.3.3 Minimisation unidimensionnelle

Problème à une variable

$$\min_{x \in \mathbb{R}} f(x)$$



Méthodes

- **Minimisation exacte**

- On cherche à trouver un minimum local x^* avec une précision donnée
 - réduction itérative de l'intervalle de recherche : dichotomie
 - réduction optimale : Fibonacci, nombre d'or

- **Minimisation approchée**

- On cherche une réduction suffisante de la fonction sans déterminer précisément le minimum x^*
 - règles d'acceptation (Armijo, Goldstein, Wolfe)
 - limitation du nombre d'évaluations de la fonction

Techniques d'optimisation

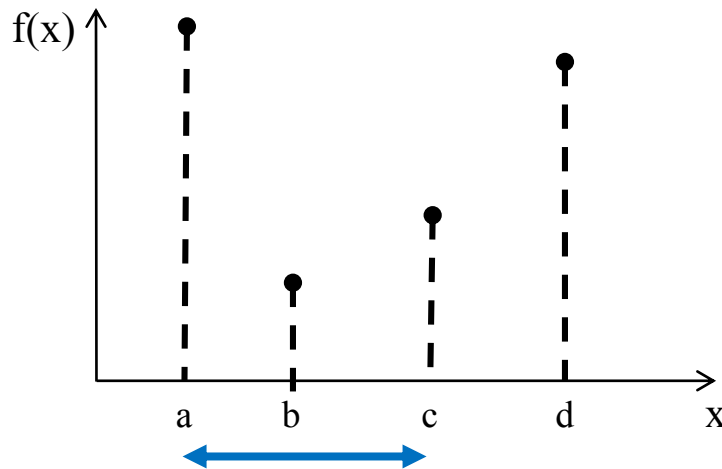
2.3.3 Minimisation exacte

Recherche par dichotomie

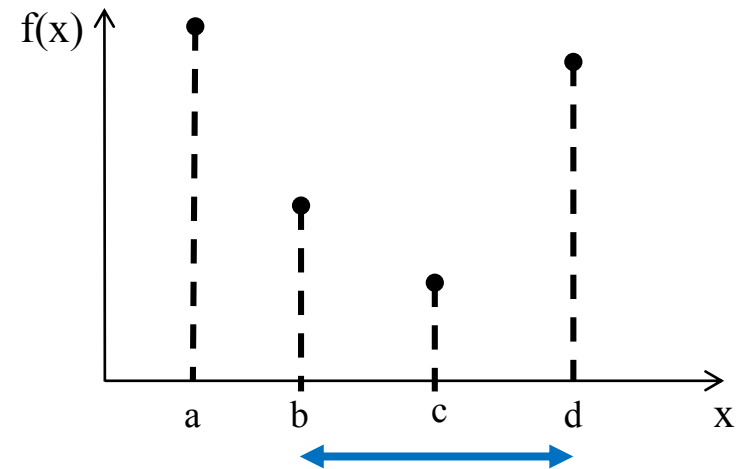
L'allure de la fonction f n'est pas connue.

On suppose qu'il existe un minimum unique dans l'intervalle de recherche $[a,d]$

- On évalue la fonction aux extrémités a et d : $\rightarrow f(a), f(d)$
- On évalue la fonction en 2 points b et c : $a < b < c < d$ $\rightarrow f(b), f(c)$
- On conserve soit l'intervalle $[a,c]$, soit l'intervalle $[b,d]$



On conserve $[a,c]$



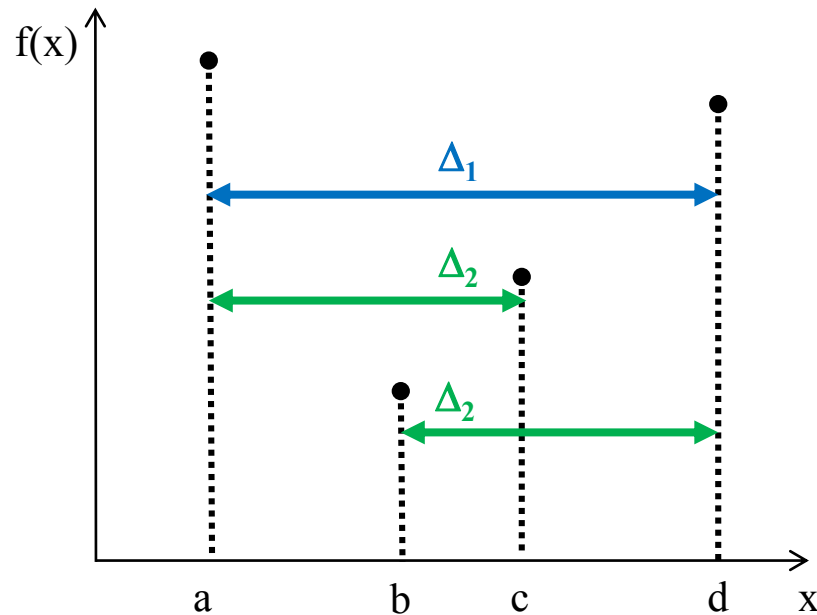
On conserve $[b,d]$

Techniques d'optimisation

2.3.3 Minimisation exacte

Réduction optimale de l'intervalle

- On cherche b et c pour que l'intervalle restant soit le plus petit possible.
La taille de l'intervalle restant ne doit pas dépendre du choix de [a,c] ou [b,d].
- On note : Δ_1 la longueur de l'intervalle initial $\rightarrow \Delta_1 = d - a$
 Δ_2 la longueur de l'intervalle restant $\rightarrow \Delta_2 = c - a$ si on garde [a,c]
 ou $\Delta_2 = d - b$ si on garde [b,d]



$$\Delta_2 = d - b = c - a$$

$$\Rightarrow a + d = b + c \Rightarrow \frac{a + d}{2} = \frac{b + c}{2}$$



Les points b et c doivent être symétriques par rapport au milieu de l'intervalle [a,d].

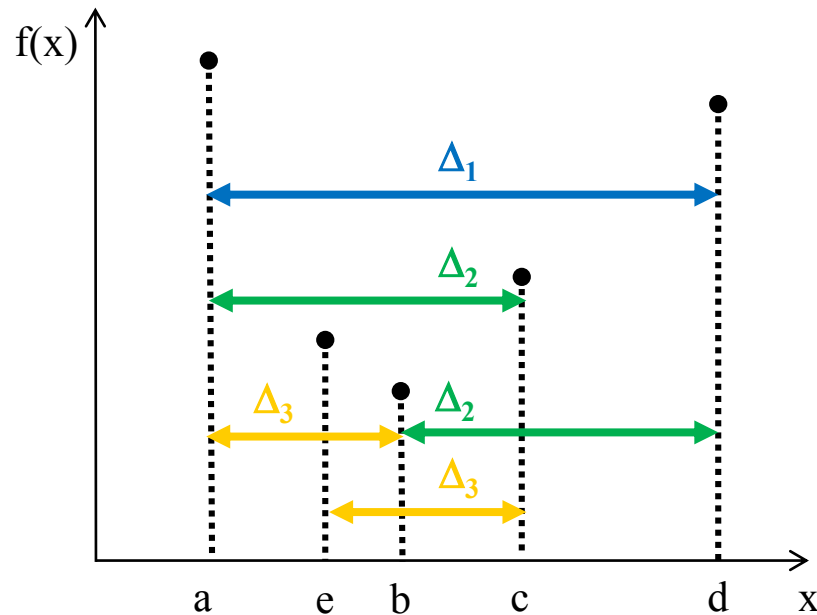
Techniques d'optimisation

2.3.3 Minimisation exacte

Réduction optimale de l'intervalle

- On suppose que l'intervalle restant est $[a,c]$.
- Pour **réutiliser le point b** à l'itération suivante, on choisit le nouveau point e symétrique de b par rapport au milieu de l'intervalle $[a,c]$.

- $\Delta_1 = d - a$
- $\Delta_2 = c - a = d - b$
- $\Delta_3 = b - a = c - e$



$$d - a = (d - b) + (b - a)$$

$$\Rightarrow \Delta_1 = \Delta_2 + \Delta_3$$



Les longueurs Δ_k des intervalles successifs vérifient :

$$\Delta_k = \Delta_{k+1} + \Delta_{k+2}$$

2.3.3 Minimisation exacte

Réduction optimale de l'intervalle

- Les intervalles successifs sont de longueur Δ_k vérifiant : $\Delta_k = \Delta_{k+1} + \Delta_{k+2}$
- Après un nombre N d'itérations, on obtient un intervalle de longueur Δ_{N-1} .
- On définit la suite de nombres F_k par : $\Delta_k = F_{N-k} \Delta_{N-1}$ pour $k = 1, \dots, N-1$

- La suite $(F_n)_{n=1, \dots, N-1}$ vérifie

$$\Delta_k = \Delta_{k+1} + \Delta_{k+2} \Rightarrow \frac{\Delta_k}{\Delta_{N-1}} = \frac{\Delta_{k+1}}{\Delta_{N-1}} + \frac{\Delta_{k+2}}{\Delta_{N-1}} \Rightarrow F_{N-k} = F_{N-k-1} + F_{N-k-2}$$

$$\Rightarrow F_n = F_{n-1} + F_{n-2} \text{ pour } n = N-k, n = 3, 4, \dots, N-1$$

$$\Delta_{N-1} = F_1 \Delta_{N-1} \text{ pour } k = N-1 \Rightarrow F_1 = 1$$

- La suite est complètement déterminée par la valeur de F_2

$$\begin{cases} F_1 = 1 \\ F_2 \text{ à choisir} \\ F_n = F_{n-1} + F_{n-2} \text{ pour } n = 3, 4, \dots, N-1 \end{cases}$$

Techniques d'optimisation

2.3.3 Minimisation exacte

Méthode de Fibonacci

- Pour un nombre N d'itérations fixé, on choisit F_2 pour que Δ_{N-1} soit minimal.

$$\Delta_{N-1} = \frac{\Delta_1}{F_{N-1}} \text{ minimal} \Rightarrow F_{N-1} \text{ maximal} \Rightarrow F_2 \text{ maximal}$$

- Valeur maximale de F_2 : $\Delta_{N-1} \geq \frac{1}{2} \Delta_{N-2}$ (car $\Delta_k \geq \frac{1}{2} \Delta_{k-1}$) $\Rightarrow F_1 \geq \frac{1}{2} F_2 \Rightarrow F_{2\max} = 2$
- On obtient la **suite de Fibonacci** : 1, 2, 3, 5, 8, 13, 21, ...

Nombre d'itérations

La méthode de Fibonacci est optimale si l'on fixe à l'avance la précision requise sur la solution.

- **Précision requise** : $\Delta_{N-1} = p \Rightarrow \Delta_{N-1} = \frac{\Delta_1}{F_{N-1}} \Rightarrow F_{N-1} = \frac{b-a}{p} \rightarrow$ valeur de N
- Intervalle initial $[a,b]$: $\Delta_1 = b-a$

La méthode de Fibonacci donne le nombre minimal d'itérations N pour obtenir la solution **avec une précision donnée**.

- La disposition des premiers points b et c dépend de N : $\frac{\Delta_1}{\Delta_2} = \frac{F_{N-1}}{F_{N-2}} \rightarrow \Delta_2$

Techniques d'optimisation

2.3.3 Minimisation exacte

Méthode du nombre d'or

La méthode de Fibonacci nécessite de changer la disposition des points à chaque itération.

La disposition des points n'est optimale que **pour une précision donnée**.

La méthode du nombre d'or est plus générale et plus simple à mettre en oeuvre.

- On impose un **rapport de réduction fixe** de l'intervalle à chaque itération.

$$\frac{\Delta_1}{\Delta_2} = \frac{\Delta_2}{\Delta_3} = \dots = \frac{\Delta_k}{\Delta_{k+1}} = \frac{\Delta_{k+1}}{\Delta_{k+2}} = \dots = \gamma \quad \text{avec} \quad \Delta_k = \Delta_{k+1} + \Delta_{k+2}$$

$$\Rightarrow \frac{\Delta_k}{\Delta_{k+1}} = 1 + \frac{\Delta_{k+2}}{\Delta_{k+1}} \Rightarrow \gamma = 1 + \frac{1}{\gamma} \Rightarrow \gamma^2 - \gamma - 1 = 0$$

- On obtient pour le rapport γ le nombre d'or :

→ **Méthode du nombre d'or** (ou de la **section dorée**)

$$\gamma = \frac{1 + \sqrt{5}}{2} \approx 1.618034$$

Optimalité

- La méthode du nombre d'or n'est pas optimale pour un nombre d'itérations donné N.

- Pour un nombre d'itérations grand : $\lim_{N \rightarrow \infty} \frac{F_N}{F_{N-1}} = \gamma$

→ La disposition des points de Fibonacci tend vers celle du nombre d'or.

Techniques d'optimisation

2.3.3 Minimisation exacte

Comparaison Fibonacci - Nombre d'or

Le rapport de réduction de l'intervalle après n itérations vaut :

- Pour la méthode de Fibonacci : $\frac{\Delta_1}{\Delta_n} = F_n$
- Pour la méthode du nombre d'or : $\frac{\Delta_1}{\Delta_n} = \gamma^{n-1}$

Nombre d'itérations

Une itération de la méthode de Fibonacci ou du nombre d'or correspond à une évaluation de f.

Nombre d'évaluations

Rapport de réduction	Fibonacci	Nombre d'or
10^{-2}	11	13
10^{-3}	15	18
10^{-4}	20	22
10^{-5}	25	27
10^{-6}	30	31

Techniques d'optimisation

2.3.3 Minimisation exacte

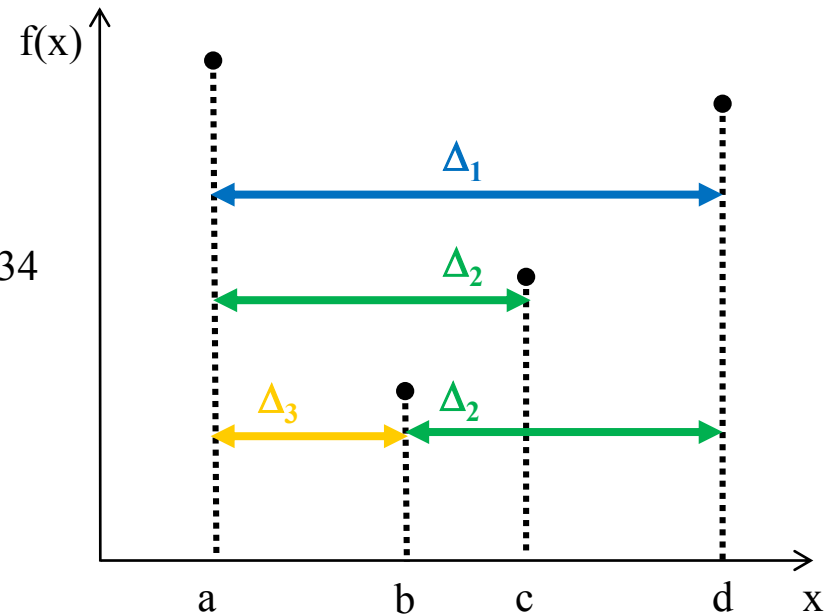
Méthode du nombre d'or

- Positionnement des points

$$\frac{\Delta_1}{\Delta_2} = \frac{\Delta_2}{\Delta_3} = \gamma = \frac{1 + \sqrt{5}}{2} \approx 1.618034$$

$$\Rightarrow \begin{cases} \Delta_2 = \frac{1}{\gamma} \Delta_1 = r \Delta_1 \\ \Delta_3 = \frac{1}{\gamma^2} \Delta_1 = r^2 \Delta_1 \end{cases} \text{ avec } r = \frac{1}{\gamma} = \frac{\sqrt{5} - 1}{2} \approx 0.618034$$

$$\Rightarrow \begin{cases} b = a + r^2 \Delta_1 \\ c = a + r \Delta_1 \\ d = a + \Delta_1 \end{cases}$$



- Itération

$$\text{Si } f(b) < f(c) \rightarrow \begin{cases} d \leftarrow c \\ c \leftarrow b \\ \Delta_1 \leftarrow \Delta_2 \\ b = a + r^2 \Delta_1 \end{cases} \quad \text{Si } f(b) > f(c) \rightarrow \begin{cases} a \leftarrow b \\ b \leftarrow c \\ \Delta_1 \leftarrow \Delta_2 \\ c = a + r \Delta_1 \end{cases}$$

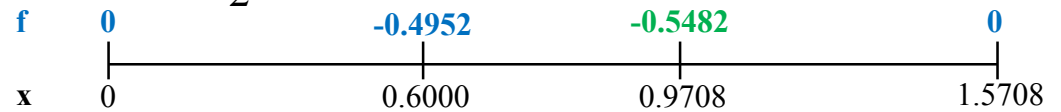
Techniques d'optimisation

2.3.3 Exemple

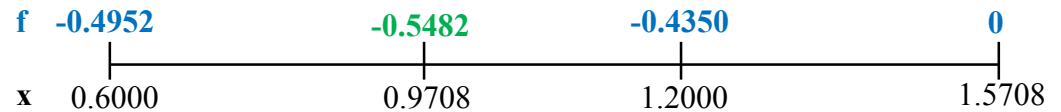
Méthode du nombre d'or

- Minimisation de $f(x) = -x \cos(x)$, $0 \leq x \leq \frac{\pi}{2}$

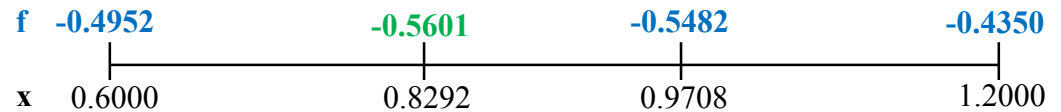
- Itération 1



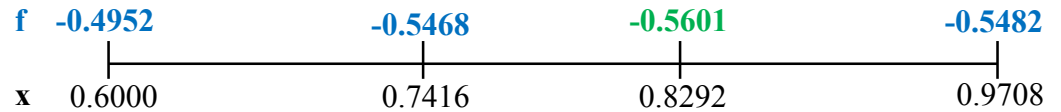
- Itération 2



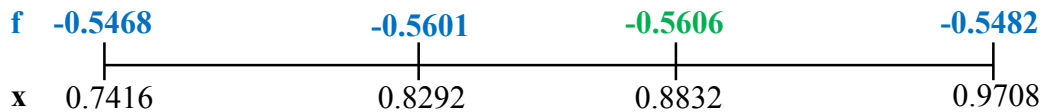
- Itération 3



- Itération 4



- Itération 5



- Solution : $x^* \approx 0.8832 \rightarrow f(x^*) \approx -0.5606$
 au lieu de $x^* \approx 0.8603 \rightarrow f(x^*) \approx -0.5611$

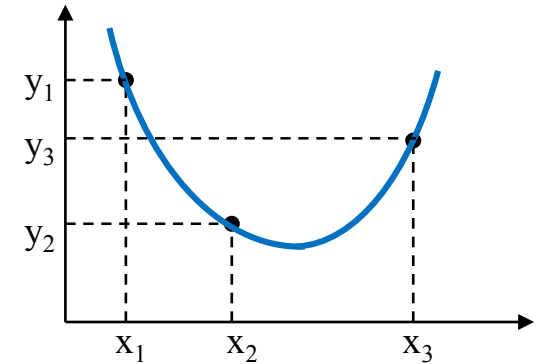
Techniques d'optimisation

2.3.3 Minimisation exacte

Interpolation quadratique

- On connaît la valeur de la fonction f en 3 points x_1, x_2, x_3 .

$$\begin{cases} y_1 = f(x_1) \\ y_2 = f(x_2) \\ y_3 = f(x_3) \end{cases}$$



- On construit le polynôme q de degré 2 passant par les 3 points.

$$q(x) = y_1 \frac{(x - x_2)(x - x_3)}{(x_1 - x_2)(x_1 - x_3)} + y_2 \frac{(x - x_3)(x - x_1)}{(x_2 - x_3)(x_2 - x_1)} + y_3 \frac{(x - x_1)(x - x_2)}{(x_3 - x_1)(x_3 - x_2)} \rightarrow \begin{cases} q(x_1) = y_1 \\ q(x_2) = y_2 \\ q(x_3) = y_3 \end{cases}$$

- Dérivée du polynôme q

$$q'(x) = y_1 \frac{(2x - x_2 - x_3)}{(x_1 - x_2)(x_1 - x_3)} + y_2 \frac{(2x - x_3 - x_1)}{(x_2 - x_3)(x_2 - x_1)} + y_3 \frac{(2x - x_1 - x_2)}{(x_3 - x_1)(x_3 - x_2)}$$

On obtient une approximation du minimum de f en minimisant q .

2.3.3 Minimisation exacte

Interpolation quadratique

- La dérivée du polynôme q s'écrit :

$$q'(x) = y_1 \frac{(2x - x_2 - x_3)}{(x_1 - x_2)(x_1 - x_3)} + y_2 \frac{(2x - x_3 - x_1)}{(x_2 - x_3)(x_2 - x_1)} + y_3 \frac{(2x - x_1 - x_2)}{(x_3 - x_1)(x_3 - x_2)}$$

$$\Rightarrow q'(x) = \frac{-2x[y_1(x_2 - x_3) + y_2(x_3 - x_1) + y_3(x_1 - x_2)] + [y_1(x_2^2 - x_3^2) + y_2(x_3^2 - x_1^2) + y_3(x_1^2 - x_2^2)]}{(x_1 - x_2)(x_2 - x_3)(x_3 - x_1)}$$

$$\Rightarrow q'(x) = \frac{-2x(y_1 s_{23} + y_2 s_{31} + y_3 s_{12}) + (y_1 r_{23} + y_2 r_{31} + y_3 r_{12})}{(x_1 - x_2)(x_2 - x_3)(x_3 - x_1)} \quad \text{avec} \quad \begin{cases} s_{ij} = x_i - x_j \\ r_{ij} = x_i^2 - x_j^2 \end{cases}$$

- On cherche la valeur x_m qui annule la dérivée du polynôme q .

$$q'(x_m) = 0 \Rightarrow 2x_m [y_1 s_{23} + y_2 s_{31} + y_3 s_{12}] + [y_1 r_{23} + y_2 r_{31} + y_3 r_{12}] = 0$$

$$\Rightarrow x_m = \frac{1}{2} \frac{y_1 r_{23} + y_2 r_{31} + y_3 r_{12}}{y_1 s_{23} + y_2 s_{31} + y_3 s_{12}} \quad \text{avec} \quad \begin{cases} s_{ij} = x_i - x_j \\ r_{ij} = x_i^2 - x_j^2 \end{cases}$$

2.3.3 Minimisation exacte

Interpolation quadratique

- On évalue la valeur de la fonction en $x_m \rightarrow y_m = f(x_m)$
 - \rightarrow On dispose de 4 points x_1, x_2, x_3, x_m avec les valeurs respectives de f : y_1, y_2, y_3, y_m
 - \rightarrow On conserve 3 points choisis parmi x_1, x_2, x_3, x_m selon :
 - la position de x_m par rapport à x_1, x_2, x_3
 - le minimum parmi y_m, y_1, y_2, y_3

Points retenus	$x_m < x_1$	$x_1 < x_m < x_2$	$x_2 < x_m < x_3$	$x_3 < x_m$
Minimum = y_m	(x_m, x_1, x_2)	(x_1, x_m, x_2)	(x_2, x_m, x_3)	(x_2, x_3, x_m)
Minimum = y_1	(x_m, x_1, x_2)	(x_1, x_m, x_2)	(x_1, x_2, x_m)	divergence
Minimum = y_2	divergence	(x_m, x_2, x_3)	(x_1, x_2, x_m)	divergence
Minimum = y_3	divergence	(x_m, x_2, x_3)	(x_2, x_m, x_3)	(x_2, x_3, x_m)

Cas de divergence : Le polynôme est trop éloigné de la fonction
 Il faut un balayage plus fin avant l'interpolation quadratique.

- On réitère l'interpolation quadratique avec les 3 nouveaux points jusqu'à réduire la taille de l'intervalle à la précision souhaitée.

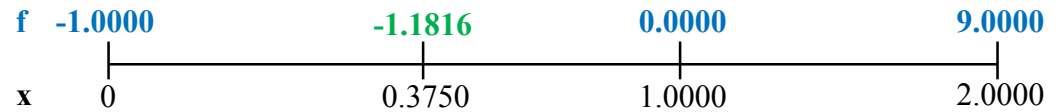
Techniques d'optimisation

2.3.3 Exemple

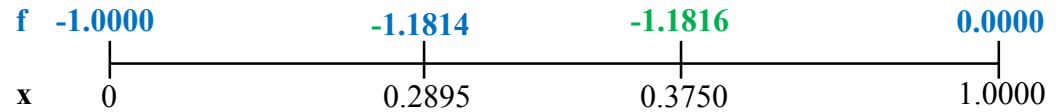
Interpolation quadratique

- Minimisation de $f(x) = (x - 1)(x + 1)^2$, $0 \leq x \leq 2$

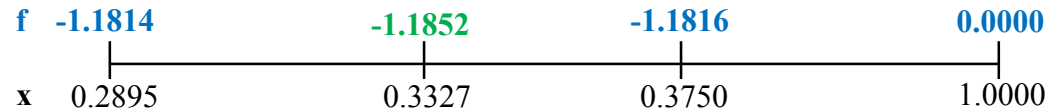
- Itération 1



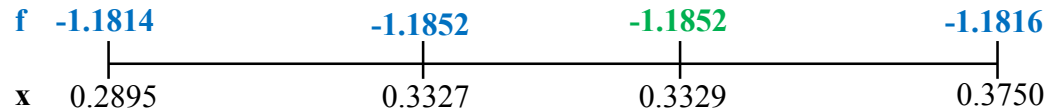
- Itération 2



- Itération 3



- Itération 4



- Itération 5



- Solution : $x^* \approx 0.3333 \rightarrow f(x^*) \approx -1.1852$

Techniques d'optimisation

2.3.3 Minimisation approchée

Principes

- Il n'est pas utile de réaliser une minimisation exacte suivant la direction de descente :
 - nécessite un grand nombre d'évaluations de la fonction
 - n'apporte pas une amélioration significative loin de la solution
- On peut se contenter d'une minimisation approchée
 - 2 **règles d'acceptation** d'un pas de déplacement

Notations

- x_k = point courant → $f(x_k)$
- d_k = direction de descente → $\nabla f(x_k)^T d_k < 0$
- Variation de la fonction f dans la direction d_k : $\varphi(s) = f(x_k + s d_k)$, $s \geq 0$

Règles d'acceptation du pas

- **Diminution suffisante** de la valeur de la fonction → condition d'Armijo
1^{ère} condition de Wolfe
- **Déplacement suffisant** par rapport au point initial → condition de Goldstein
2^{ème} condition de Wolfe

Techniques d'optimisation

2.3.3 Minimisation approchée

Diminution suffisante

La fonction f doit décroître suffisamment pour accepter le pas.

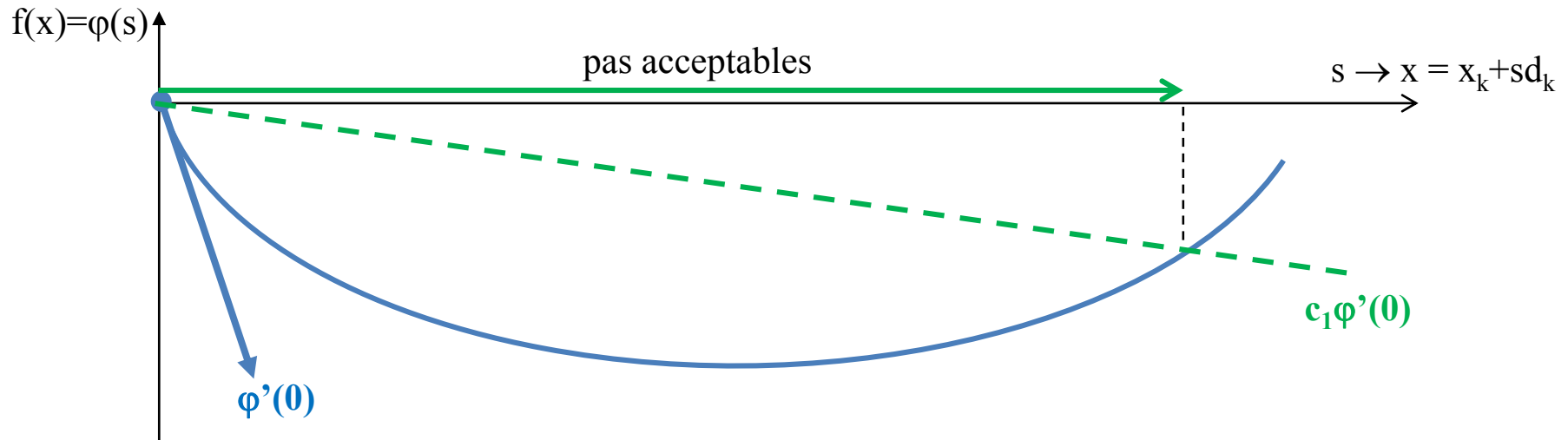
- Dérivée directionnelle de f suivant la direction d_k

$$\varphi(s) = f(x_k + sd_k), s \geq 0 \Rightarrow \varphi'(0) = \nabla f(x_k)^T d_k < 0$$

- On impose une diminution proportionnelle à la dérivée directionnelle, avec $0 < \varepsilon < c_1 < 0.5$

$$\varphi(s) < \varphi(0) + c_1 s \varphi'(0) \Leftrightarrow \boxed{f(x_k + sd_k) < f(x_k) + c_1 s \nabla f(x_k)^T d_k} \rightarrow \text{valeur typique } c_1 = 0.1$$

→ **Condition d'Armijo** ou 1^{ère} condition de Wolfe ou 1^{ère} condition de Goldstein



Techniques d'optimisation

2.3.3 Minimisation approchée

Déplacement suffisant

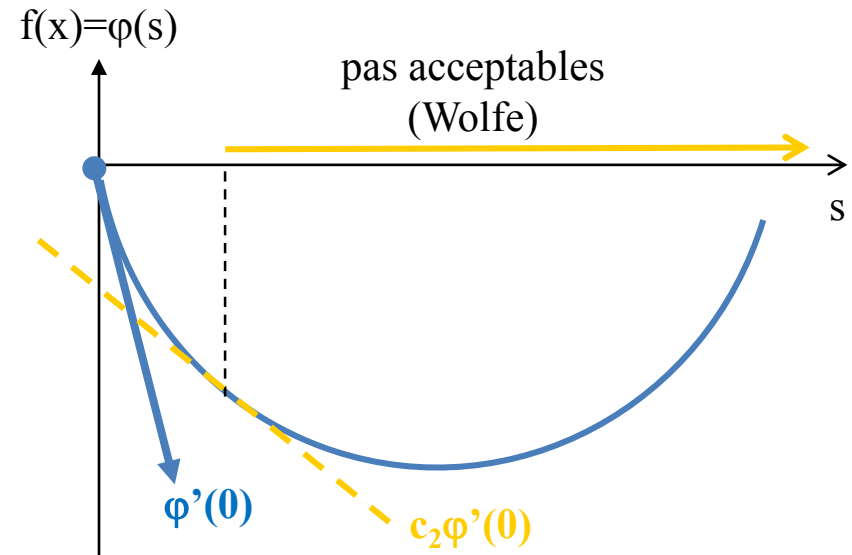
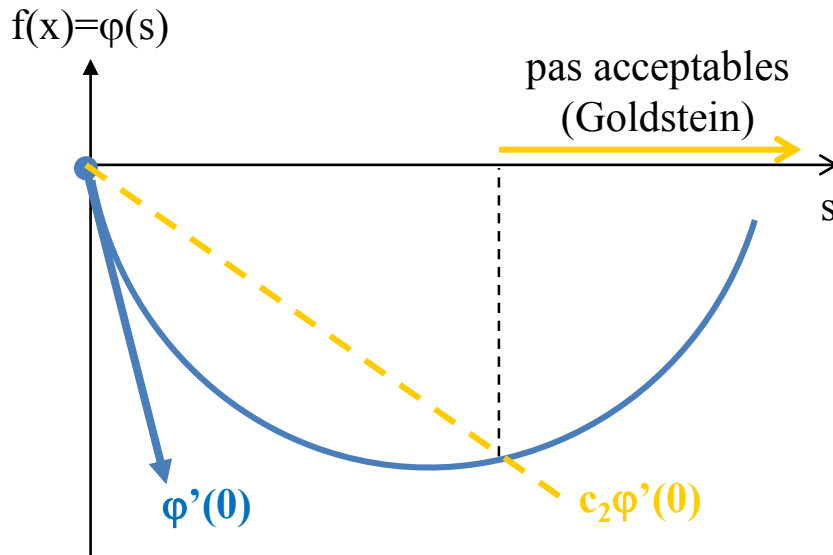
Le déplacement à partir du point initial doit être suffisant pour accepter le pas.

- Condition de Goldstein

$$\varphi(s) > \varphi(0) + c_2 s \varphi'(0) \Leftrightarrow \boxed{f(x_k + s d_k) > f(x_k) + c_2 s \nabla f(x_k)^T d_k} \rightarrow \text{valeur typique } c_2=0.9$$

- Condition de Wolfe : réduction de la dérivée

$$\varphi'(s) > c_2 \varphi'(0) \Leftrightarrow \boxed{\nabla f(x_k + s d_k)^T d_k > c_2 \nabla f(x_k)^T d_k} \rightarrow \text{valeur typique } c_2=0.9$$



Techniques d'optimisation

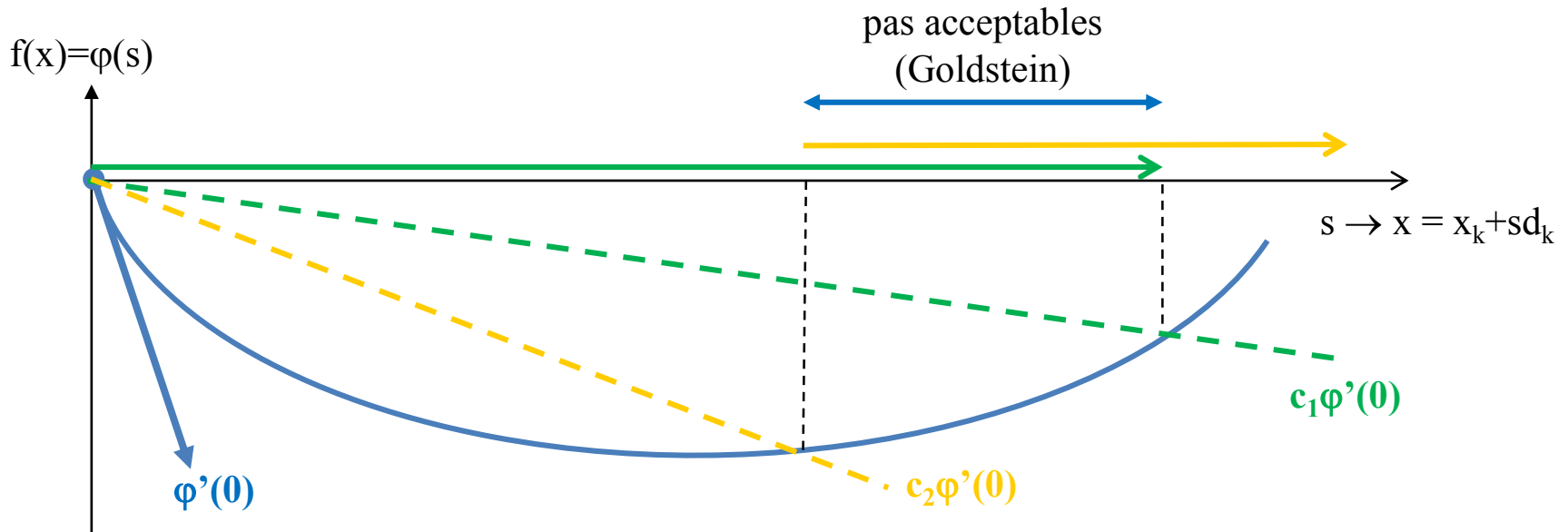
2.3.3 Minimisation approchée

Récapitulatif

- Conditions de Goldstein** (si la dérivée de f est coûteuse)

$$\begin{cases} \varphi(s) < \varphi(0) + c_1 s \varphi'(0) & \rightarrow c_1 \approx 0.1 \\ \varphi(s) > \varphi(0) + c_2 s \varphi'(0) & \rightarrow c_2 \approx 0.9 \end{cases}$$
- Conditions de Wolfe** (si la dérivée de f est disponible)

$$\begin{cases} \varphi(s) < \varphi(0) + c_1 s \varphi'(0) & \rightarrow c_1 \approx 0.1 \\ \varphi'(s) > c_2 \varphi'(0) & \rightarrow c_2 \approx 0.9 \end{cases}$$
 ou $|\varphi'(s)| < c_2 |\varphi'(0)| \rightarrow$ assure théoriquement la convergence



2.3.3 Réglage du pas

Méthode de dichotomie

On cherche un pas s vérifiant les conditions de Goldstein :
$$\begin{cases} \varphi(s) < \varphi(0) + c_1 s \varphi'(0) \\ \varphi(s) > \varphi(0) + c_2 s \varphi'(0) \end{cases}$$

Initialisation

- Intervalle initial : $[s_{\min}, s_{\max}]$ avec $s_{\min} = 0$
 s_{\max} assez grand
- Valeur initiale : $s=1$ (pas de Newton)

Itérations

Evaluation de $\varphi(s)$ et comparaison aux droites de Goldstein

- Si s ne respecte pas la condition 1 \rightarrow amélioration insuffisante, pas trop grand : $s_{\max} = s$
- Si s ne respecte pas la condition 2 \rightarrow déplacement insuffisant, pas trop petit : $s_{\min} = s$
 \rightarrow Réduction de l'intervalle $[s_{\min}, s_{\max}]$
 \rightarrow Essai suivant : $s = \frac{1}{2}(s_{\min} + s_{\max})$

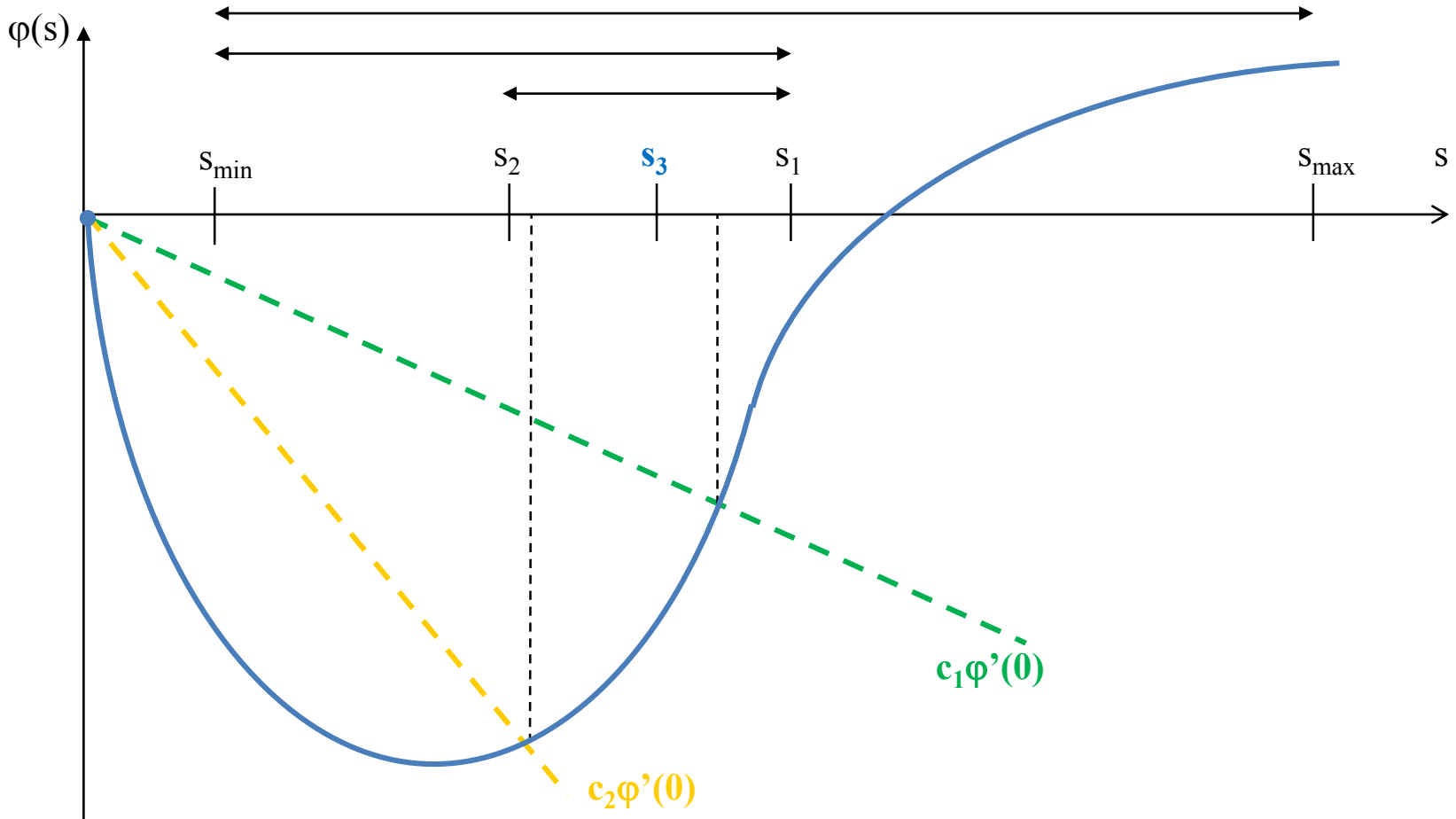
Arrêt

- Si s respecte les 2 conditions \rightarrow pas acceptable
- Si l'intervalle $[s_{\min}, s_{\max}]$ devient inférieur à un seuil donné

Techniques d'optimisation

2.3.3 Réglage du pas

Illustration

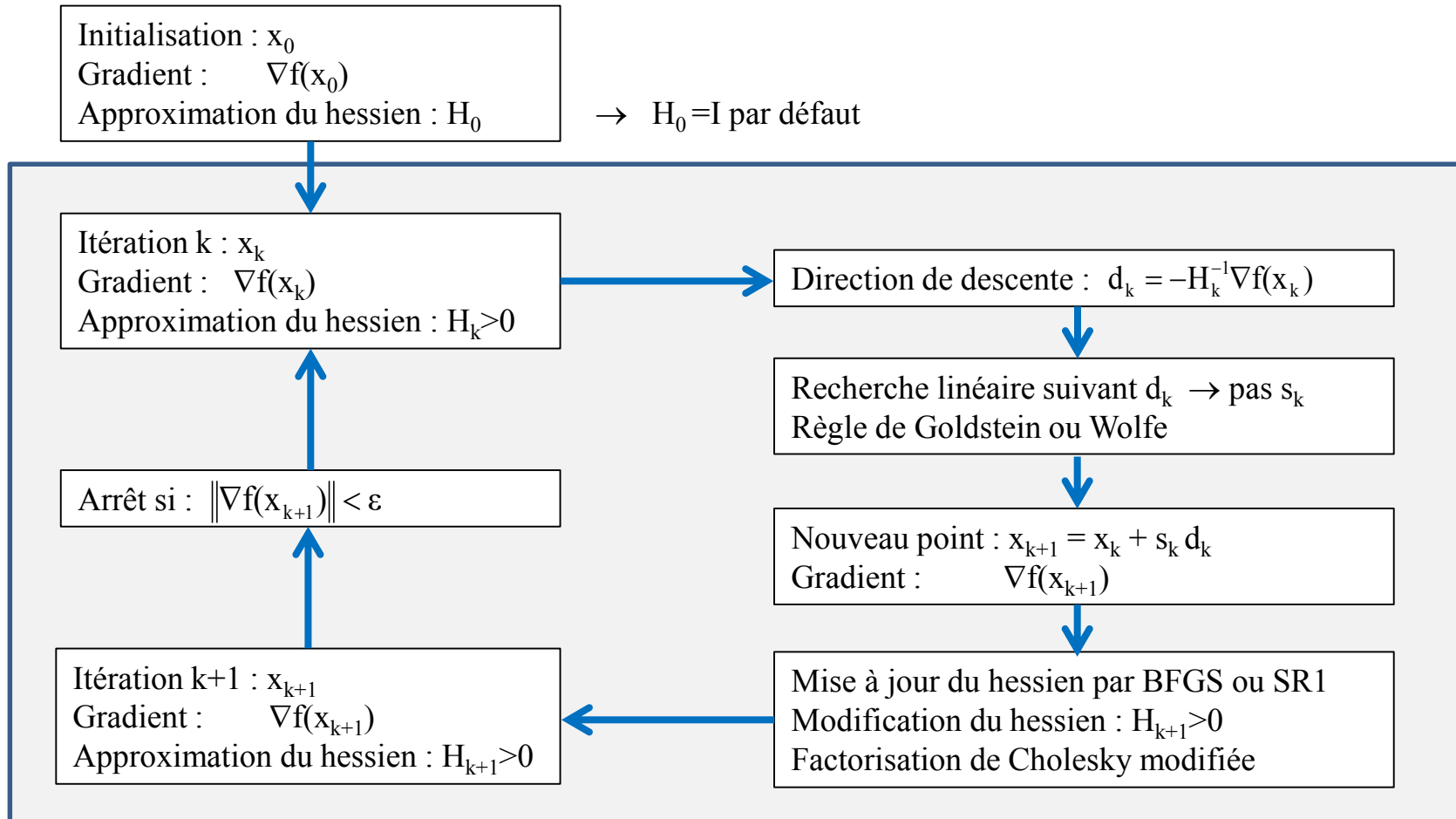


2.3.4 Algorithme

- Algorithme de recherche linéaire
- Convergence
- Exemple
- Descente non monotone

2.3.4 Algorithme

Algorithme de recherche linéaire



2.3.4 Algorithme

Principaux résultats de convergence

- Si d est une direction de descente, et f est bornée inférieurement suivant d , alors il existe un pas s suivant d vérifiant les conditions de Wolfe

- Si les directions de descente ne deviennent pas « trop » orthogonales au gradient, l'algorithme de recherche linéaire avec les **conditions de Wolfe** est **globalement convergent**.

$$\lim_{k \rightarrow \infty} \|\nabla f(x_k)\| = 0 \quad \rightarrow \text{convergence vers un point stationnaire}$$

En pratique

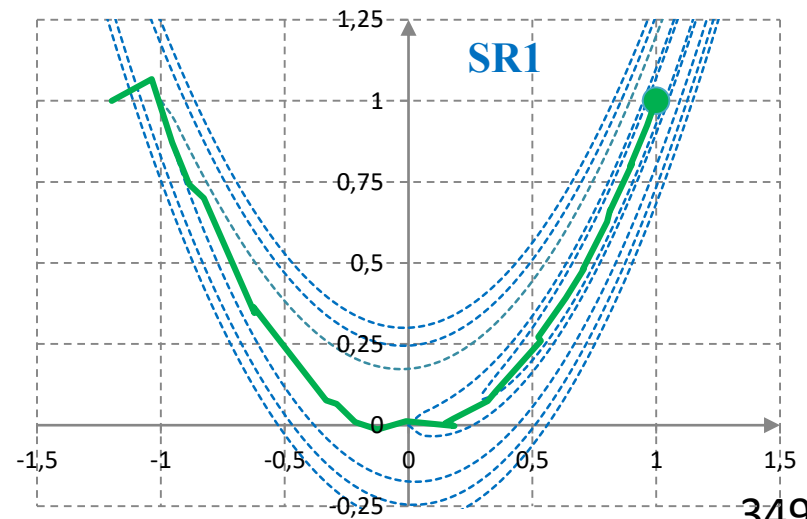
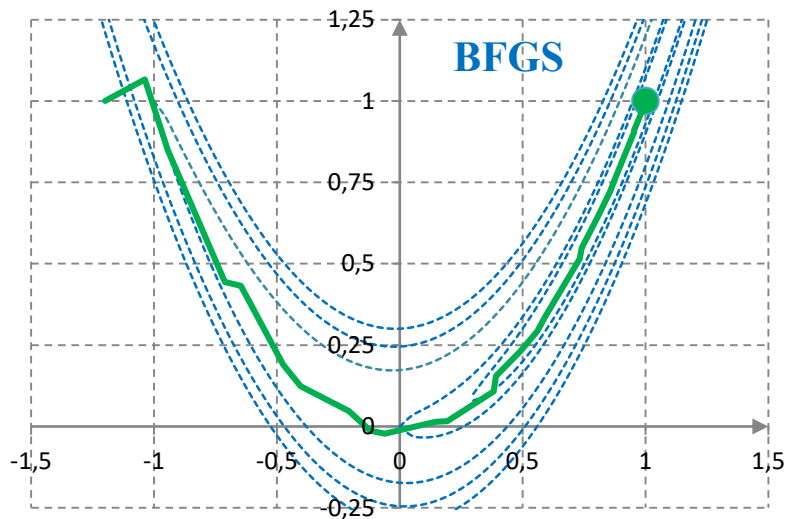
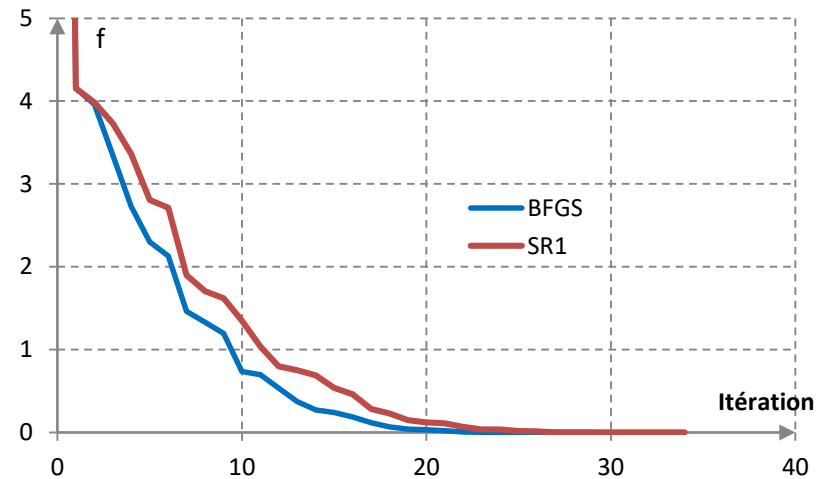
- Les directions de descente peuvent être construites avec BFGS ou SR1 (si matrices $H_k > 0$)
- La valeur des coefficients de Goldstein ou Wolfe c_1 et c_2 n'est pas critique pour la convergence.
- Le pas de Newton ($s=1$) est systématiquement testé, car il donne la solution si la fonction est proche de son modèle quadratique.
- La méthode de plus forte pente a la propriété de convergence globale, mais peut être très lente. On peut assurer la convergence globale d'un algorithme de recherche linéaire utilisant d'autres directions **en effectuant périodiquement une itération de plus forte pente**.

2.3.4 Exemple

Fonction de Rosenbrock

$$f(x_1, x_2) = 100(x_2 - x_1^2)^2 + (1 - x_1)^2$$

- Point initial : $\begin{pmatrix} -1.2 \\ 1 \end{pmatrix}$
- Recherche linéaire avec BFGS ou SR1



2.3.4 Descente non monotone

Condition de décroissance

- La condition d'Armijo impose une décroissance de la fonction **à chaque itération**.

$$f(\mathbf{x}_k + s\mathbf{d}_k) < \boxed{f(\mathbf{x}_k)} + c_1 s \nabla f(\mathbf{x}_k)^T \mathbf{d}_k$$

Le pas de déplacement s est réduit jusqu'à vérifier la condition de décroissance.

→ **décroissance monotone**

$$f(\mathbf{x}_0) > f(\mathbf{x}_1) > f(\mathbf{x}_2) > \dots > f(\mathbf{x}_k) > f(\mathbf{x}_{k+1}) > \dots$$

La convergence peut devenir très lente sur une fonction mal conditionnée (« vallée étroite »).

- On peut accélérer la convergence en acceptant une croissance temporaire de la fonction. La condition de décroissance est imposée **entre le point \mathbf{x}_{k-m} et le point \mathbf{x}_{k+1}** .

$$f(\mathbf{x}_k + s\mathbf{d}_k) < \boxed{f(\mathbf{x}_{k-m})} + c_1 s \nabla f(\mathbf{x}_k)^T \mathbf{d}_k$$

La fonction peut croître sur m itérations, mais les sous-suites $\mathbf{x}_{j+k(m+1)}$ restent décroissantes.

→ **décroissance non monotone** (méthode « watchdog »)

$$f(\mathbf{x}_0) > f(\mathbf{x}_{m+1}) > f(\mathbf{x}_{2(m+1)}) > \dots > f(\mathbf{x}_{k(m+1)})$$

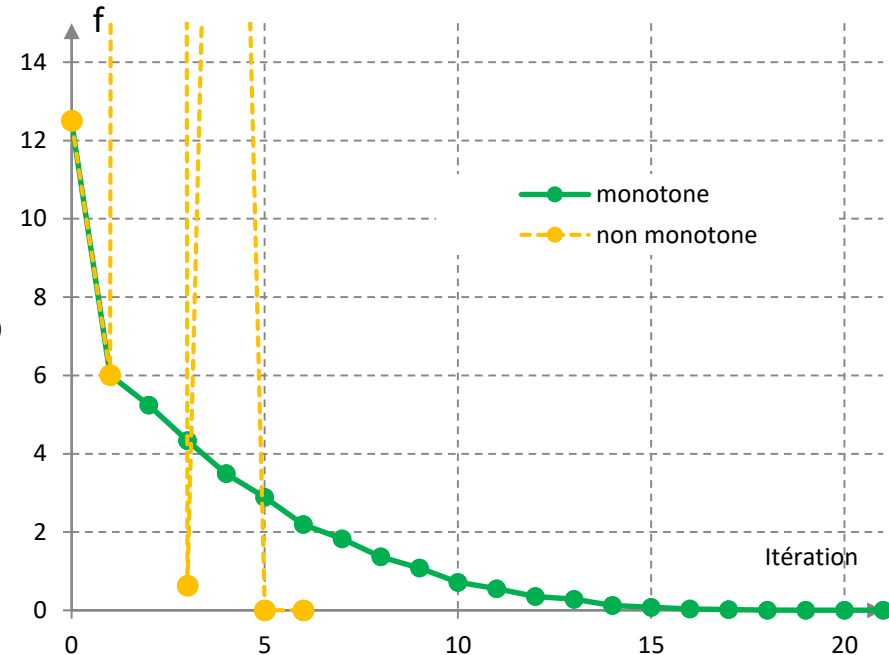
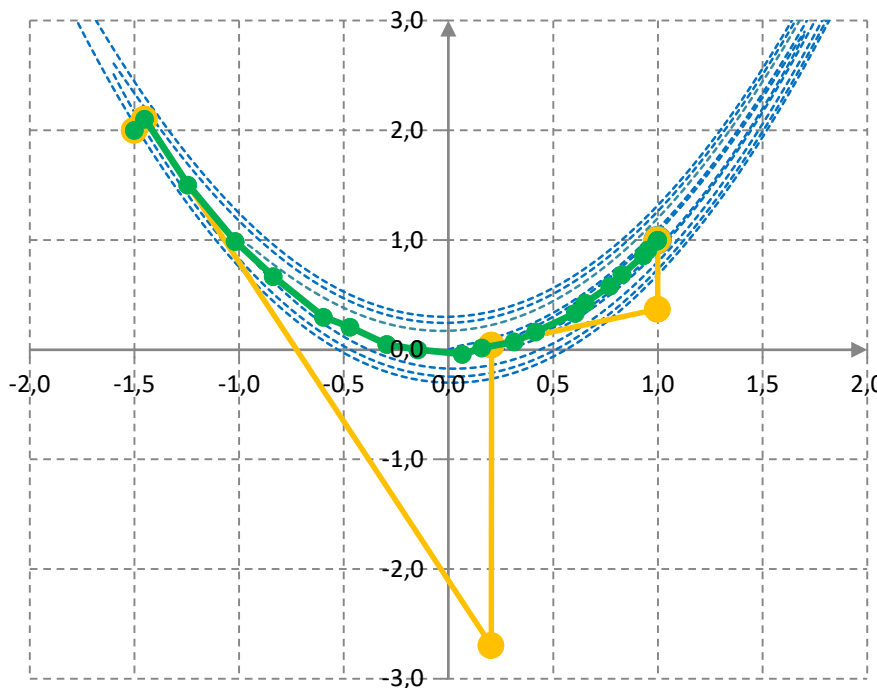
$$f(\mathbf{x}_1) > f(\mathbf{x}_{1+m+1}) > f(\mathbf{x}_{1+2(m+1)}) > \dots > f(\mathbf{x}_{1+k(m+1)}) \quad \text{sans imposer} \quad f(\mathbf{x}_1) < f(\mathbf{x}_0)$$

Techniques d'optimisation

2.3.4 Descente non monotone

Exemple

Fonction de Rosenbrock à deux variables : $f(x_1, x_2) = 100(x_2 - x_1^2)^2 + (1 - x_1)^2$



Méthode de Newton avec pas s

- Descente monotone ($s \rightarrow s/2$) : convergence en 21 itérations
- Descente non monotone ($s=1$) : convergence en 6 itérations (2 itérations avec dégradation)